

3.1.25 Лучевая диагностика (медицинские науки)
3.1.15 Сердечно-сосудистая хирургия (медицинские науки)

ПРЕДОПЕРАЦИОННОЕ ПЛАНИРОВАНИЕ ТОРАКОСКОПИЧЕСКОЙ АМПУТАЦИИ УШКА ЛЕВОГО ПРЕДСЕРДИЯ ПРИ ФИБРИЛЛЯЦИИ

М. Кадырова¹, *Е.Д. Стребкова¹, Е.В. Ялова¹, А.Ш. Ревишвили^{1,2}

¹ФГБУ «Национальный медицинский исследовательский центр хирургии имени А.В. Вишневского» Минздрава России

²ФГБОУ ДПО «Российская медицинская академия непрерывного профессионального образования» Минздрава России

*Адрес для корреспонденции (Correspondence to): Стребкова Елизавета Дмитриевна (Elizaveta D. Strebkova), e-mail: elizabeth.strebkova@yandex.ru

АННОТАЦИЯ

Фибрилляция предсердий является наиболее распространенной предсердной тахиаритмии во всем мире. Риски развития системных тромбоэмбологических событий существенно возрастают у пациентов, страдающих фибрилляцией предсердий. Считается, что до 95% тромбов у данной группы пациентов локализуется в ушке левого предсердия.

Актуальной проблемой современной аритмологии является поиск оптимальных и эффективных методов профилактики развития тромбоэмбологических событий при фибрилляции предсердий. Несмотря на доказанную высокую эффективность терапевтических методов, данный метод имеет ряд ограничений и противопоказаний в пожизненном приеме.

Альтернативным вариантом является хирургическая изоляция или ампутация ушка левого предсердия, но данная процедура выполнима исключительно как симультанная при открытых кардиохирургических вмешательствах.

Имплантация окклюдеров является перспективным направлением в изоляции ушка левого предсердия, но имеет высокую зависимость от анатомической структуры последнего и требует приема антиагрегантов в послеоперационном периоде.

В связи с высокой травматичностью открытых хирургических вмешательств, техническими сложностями имплантации окклюдеров стали разрабатываться методы изоляции ушка левого предсердия из системного кровотока из минимальноинвазивных доступов. Видеоассистированные торакоскопические абляции являются не только перспективным направлением в выполнении эпикардиальной абляции, но дают возможность выполнения одномоментной ампутации ушка левого предсердия.

Нерешенной задачей минимальноинвазивной хирургической изоляции ушка левого предсердия является его детальная визуализация на этапе планирования операции. Компьютерная томография с контрастированием обладает высокой разрешающей способностью, что в совокупности с возможностью построения трехмерных моделей позволяет более точно выбирать размер, тип и оптимальную позицию окклюзирующего устройства для пациента в соответствии с его анатомическими особенностями.

Таким образом, основной задачей представленного сообщения является описание роли компьютерной томографии с контрастированием на этапе планирования торакоскопической ампутации ушка левого предсердия эндостаплером с целью повышения безопасности и эффективности процедуры.

Ключевые слова: ушко левого предсердия; ампутация ушка левого предсердия; фибрилляция предсердий; мультиспиральная компьютерная томография с контрастированием

Для цитирования. М. Кадырова, Е.Д. Стребкова, Е.В. Ялова, А.Ш. Ревишвили, «ПРЕДОПЕРАЦИОННОЕ ПЛАНИРОВАНИЕ ТОРАКОСКОПИЧЕСКОЙ АМПУТАЦИИ УШКА ЛЕВОГО ПРЕДСЕРДИЯ ПРИ ФИБРИЛЛЯЦИИ ПРЕДСЕРДИЙ». Ж. МИНИМАЛЬНО ИНВАЗИВНАЯ СЕРДЕЧНО-СОСУДИСТАЯ ХИРУРГИЯ. 2025; 1(4): 68–79.

REOPERATIVE PLANNING OF THORACOSCOPIC AMPUTATION OF THE LEFT ATRIUM APPENDAGE IN ATRIAL FIBRILLATION

М. Kadyrova¹, *E.D. Strebkova¹, E.V. Yalova¹, A.Sh. Revishvili^{1,2}

¹FSBI «National Medical Research Center named after A.V. Vishnevsky» of the Ministry of Health of the Russian Federation

²FSBEI «Russian Medical Academy of Continuing Professional Education» of the Ministry of Health of the Russian Federation (RMACPE)

ABSTRACT

Atrial fibrillation is the most common atrial tachyarrhythmia worldwide. The risks of systemic thromboembolic events are significantly increased in patients with atrial fibrillation. In this patient group, it is thought that up to 95% of the thrombus is thought to be localised in the left atrial appendage. An important problem of modern arrhythmology is the search for optimal and effective methods of prevention of thromboembolic events in atrial fibrillation. Although the therapeutic methods are proven to be highly effective, this method has a number of limitations and contraindications in lifelong administration.

Surgical isolation or exclusion of the auricle of the left appendage is an alternative option, but this procedure is only possible as a simultaneous procedure in open cardiac surgery.

Occluder implantation is a promising direction in isolation of the left atrial appendage, but has a high dependence on the anatomical structure of the anatomy of the latter and requires the administration of antiaggregants in the postoperative period.

Due to high traumatic nature of open surgical interventions and technical difficulties of occluder implantation, methods of isolation of the left atrial appendage from the systemic blood flow from minimally invasive accesses have been developed. Video-assisted thoracoscopic ablations are not only a promising way to perform epicardial ablation, but also offer the possibility of performing a one-stage left atrial appendage exclusion.

An unresolved challenge of minimally invasive surgical isolation of the left atrial appendage is its detailed visualisation at the surgical planning stage. Computed tomography with contrast has a high resolution, which together with the ability to build three-dimensional models allows a more accurate selection of the size, type and optimal position of the occluding device for the patient according to his anatomical features.

Thus, the main objective of the presented report was to describe the role of contrast-enhanced computed tomography at the planning stage of thoracoscopic left atrial appendage endostapler amputation to improve the safety and efficacy of the procedure.

Keywords: left atrial appendage, left atrial appendage exclusion, atrial fibrillation, multispiral computed tomography with contrast.

ВВЕДЕНИЕ

Фибрилляция предсердий (ФП) является наиболее распространенной предсердной тахиаритмиией во всем мире [1, 2]. В течение последующих тридцати лет число больных ФП удвоится, что существенно повысит затраты системы здравоохранения на лечение ФП и ассоциированных с ней осложнений [1, 4].

Риски развития ишемического инсульта при ФП увеличиваются в 5 раз по сравнению с инсультами другой этиологии [5, 6]. Основным источником тромбообразования в 90% считается ушко левого предсердия (УЛП) [7, 8]. «Золотым стандартом» терапии, направленной на предотвращение тромбоэмбологических событий, являются новые оральные антикоагулянты (НОАК) и Варфарин. Однако около 10% пациентов имеют противопоказания к приему НОАК, а 2% – абсолютные противопоказания [1, 9]. Кроме того, комплаентность пациентов к терапии НОАК остается достаточно низкой – до 50% больных не принимают назначенные препараты [1, 9-11].

Учитывая вышесказанное, важной задачей современной аритмологии, кардиологии и кардиохирургии является поиск альтернативных безопасных методов профилактики развития тромбоэмбологических событий у пациентов с ФП. Альтернативой антикоагулянтной терапии в профилактике тромбоэмбологических событий является исключение УЛП из системного кровотока.

Одними из первых стали хирургические подходы при открытых кардиохирургических вмешательствах, в последующем были разработаны чрескожные методы имплантации окклюдеров [12-14].

В последнее время, в связи с тенденцией к переходу к минимальноинвазивным роботизированным и видеоассистированным торакоскопическим вмешательствам в кардиохирургии, стали разрабатываться и применяться новые устройства [15].

Нерешенной задачей хирургической изоляции УЛП является детальная визуализация УЛП на этапе планирования операции. Двухмерная чреспищеводная эхокардиография (ЧП ЭхоКГ) является методом выбора в верификации тромбоза УЛП [16]. Однако методика двухмерной ЧП ЭхоКГ имеет ряд ограничений, связанных прежде всего со сложной структурой УЛП, что приводит к неточности измерений объемов и структур этого отдела сердца. Также немаловажными факторами являются ее инвазивность и трудная переносимость для пациента.

Применение компьютерной томографии (КТ) с контрастированием не только не уступает ЧП ЭхоКГ в исключении тромбоза УЛП, но также может иметь преимущества в предоперационной подготовке. КТ обладает более высокой разрешающей способностью, что в совокупности с возможностью построения 3D-моделей позволяет более точно выбирать размер, тип и оптимальную позицию окклюзирующего устройства для пациента в соответствии с его анатомическими особенностями. Главным же преимуществом КТ исследования является его неинвазивность.

Таким образом, основной задачей представленного сообщения являлось описание роли МСКТ с контрастированием на этапе планирования торакоскопической ампутации УЛП эндостеплером с целью повышения безопасности и эффективности процедуры.

Мультиспиральная компьютерная томография с контрастированием

Протокол исследования МСКТ с контрастированием для визуализации сердечно-сосудистой системы зависит от множества факторов: частоты сердечных сокращений, сердечного ритма на момент исследования, индивидуальных особенностей пациента. Фаза сердечного цикла и ритм сердца необходимы для грамотной оценки параметров ЛП и УЛП.

Пациентам с ФП чаще всего требуется ретроспективный анализ электрокардиограммы (ЭКГ) [17]. Выбор оптимальной фазы реконструкции преимущественно зависит от частоты сердечных сокращений [17]. При достижении оптимальной (нормосистолической) частоты сердечных сокращений, сохраняется проблема нерегулярности сердечного ритма при ФП [18]. В связи с этим некоторые авторы, для точного анализа МСКТ с контрастированием при ФП, рекомендуют использовать ЭКГ-синхронизацию с комплексом QRS – от конечной систолы желудочков до средней диастолы, проспективное стробирование с абсолютными задержками и визуализацию одиночных сокращений [17, 19, 20].

Таким образом, несмотря на вариабельность методов анализа, самой главной задачей является визуализация УЛП в момент максимальной диастолы ЛП, когда УЛП имеет максимальный размер, преимущественно это происходит при 35-45% интервале R-R [21].

Оценка тромбоза ушка левого предсердия

Важное диагностическое значение МСКТ с контрастированием имеет при оценке полостей сердца на наличие тромботических масс, в частности тромбоза УЛП перед его ампутацией или окклюзией. Наличие тромбоза УЛП является противопоказанием для выполнения изоляции УЛП из системного кровотока, так как риски ишемического события возрастают при любых манипуляциях в данной области.

МСКТ с контрастированием до сих пор имеет низкую диагностическую и прогностическую значимость в данной области [22]. Гетерогенное контрастирование полости УЛП неоднородно в раннюю артериальную фазу контрастирования и может привести к ложной гипердиагностике.

В работе J. Hur и соавт. впервые было продемонстрировано применение двухфазной методики визуализации с ранней фазой и последующей отсроченной фазой контрастирования. Через 30 секунд после завершения ранней фазы контрастирования – для дифференциальной диаг-

ностики псевдотромбоза, обусловленного временем контрастирования и/или низкой скоростью потока в УЛП от истинного тромбоза [23]. В случае псевдотромбоза УЛП происходит контрастирование на отсроченных изображениях. При истинном тромбозе на отсроченных изображениях визуализируется дефект заполнения. Точные критерии отсроченного времени контрастирования до сих пор не установлены: протокол может включать отсроченную фазу контрастирования в диапазоне от 40 до 60 секунд от первого сканирования, с целью выявления тромбоза УЛП [22, 23]. Метаанализ 19 исследований по сравнению ценности МСКТ с контрастированием и ЧП ЭхоКГ для выявления тромбоза УЛП показал, что средний показатель чувствительности и специфичности МСКТ с контрастированием составили 96% и 92%, соответственно. При отсроченной фазе контрастирования в 30 секунд и более повышался показатель чувствительности и специфичности исследования до 100% и 99%, соответственно [24].

Протокол исследования

В нашем анализе для оценки анатомии УЛП всем пациентам до и после операции выполнялась КТ с контрастированием. Все исследования выполнены на компьютерном томографе Phillips Ingenuity 64 с использованием стандартного протокола сканирования (120 Kv) с ЭКГ-синхронизацией, с болясным введением контрастного вещества. Полученное изображение ограничивалось 40% интервалом RR. Протокол введения контрастного препарата. Использовалось неионное водорастворимое рентгеноконтрастное вещество – йопромид (Ультравист 370, Bayer, Германия).

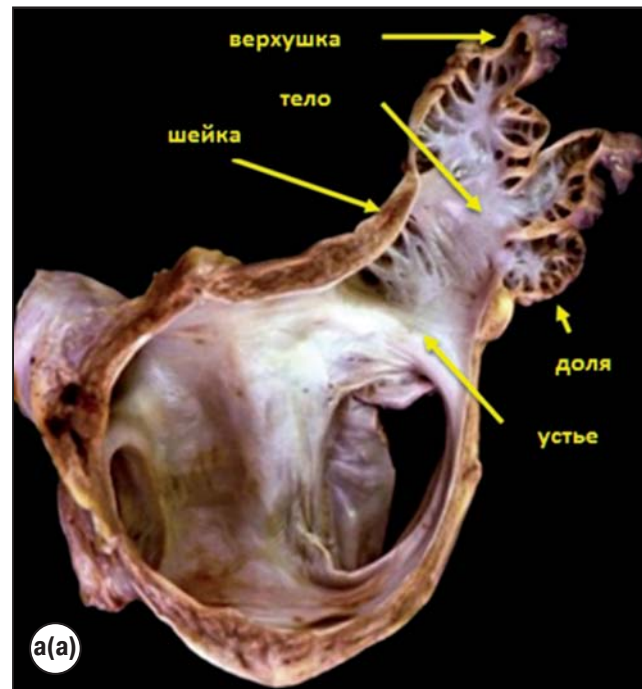


Рис. 1. Основные анатомические структуры ушка левого предсердия, макропрепаратор (а). Интраоперационная двухмерная чреспищеводная эхокардиография (б).

Fig. 1. Main anatomical structures of the left atrial appendage, macropreparation (a). Intraoperative two-dimensional transesophageal echocardiography (b).

Внутривенно болясно вводилось 70 мл контрастного препарата, далее 30 мл физиологического раствора со скоростью 4 мл/сек.

Учитывались изображения, полученные в 40% (интервал R-R) фазу сердечного цикла, выполненные на фоне контрастного усиления и через 90 секунд после введения контрастного препарата [12, 25].

Анализ результатов компьютерной томографии с контрастированием

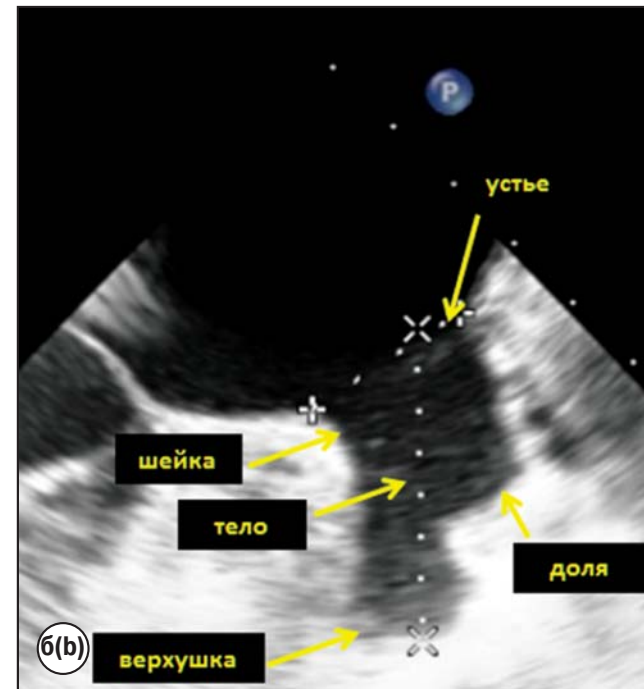
Общее представление анатомии УЛП

Ушко левого предсердия расположено ниже легочной артерии (ЛА), выше митрального клапана, кпереди от левых ЛВ, чаще левой верхней ЛВ (ЛВ ЛВ).

Со стороны эндокарда левого предсердия (ЛП) хорошо визуализируется устье УЛП. Устье УЛП образовано в месте слияния гладкой передней, боковой стенок ЛП, которые соединяются в данной области с гребенчатой мышцей УЛП. Левый латеральный гребень – складка в предсердии, отделяющая остиум от основания ЛВ ЛВ, расположена кзади и сверху (рис. 1). Вдоль эпикардиальной стороны складки проходит связка Маршала.

Связка Маршала является наружным ориентиром между левой латеральной стороной УЛП и ЛВ ЛВ [26-28].

В работе Bhuta S. и соавт., было продемонстрировано интересное наблюдение [27]. Авторы провели комплексный анализ анатомии основания ушка ЛП согласно данным МРТ исследования, и представили свои результаты в виде схемы-руководства. По данным МСКТ с контрастированием выделяют четыре возможные формы остиуума



УЛП: овальную – 68,9%, foot-like – 10%, треугольная – 7,7%, каплевидную – 7,7% и круглую – 5,7% [31].

Тело УЛП обычно проецируется в передне-верхней проекции ЛП, где оно перекрывает левую границу отточного тракта правого желудочка (легочный ствол) [33]. Альтернативные варианты топографического расположения УЛП соответствуют латеральной позиции или задней, реже всего УЛП может располагаться позади arterial pedicle, где оно располагается экстраперикардиально [28, 33].

Миокард УЛП представлен эндо- и эпикардиальными волокнами, расположенными в различной ориентации, образуя сложную переплетающуюся структуру [34]. Толщина стенки УЛП неоднородна, существенно истончена в области основания (устья), в некоторых местах может иметь толщину менее 0,5 мм, что существенно может повысить риски интраоперационного кровотечения в момент ампутации УЛП [28].

При ЧП ЭхоКГ толстые пучки гребенчатых мышц могут быть дифференцированы как тромботические образования или внутрипредсердные новообразования. В связи с чем дополнительное выполнение МСКТ с контрастированием позволяет в некоторых случаях прояснить ситуацию [35].

Морфология ушка левого предсердия

Перед выполнением ампутации/окклюзии УЛП важным является предварительная оценка его анатомии и струк-

туры с помощью специальных методов лучевой визуализации. Благодаря современным методам лучевой визуализации, определение морфологии УЛП стало возможным *in vivo*.

В связи с полученными данными УЛП начали классифицировать, в зависимости от угла отхождения от ЛП. L. Di Biase и соавт. [32] впервые предложили четыре морфологии УЛП по данным МСКТ с контрастированием: (1) кактус; (2) куриное крыльышко; (3) ветровой носок; (4) цветная капуста (рис. 2).

Наиболее часто встречается морфология УЛП – «куриное крыльышко» до 48% в популяции [32]. Для данной морфологии УЛП характерна центральная доля с изгибом в проксимальной или средней части, возможно наличие вторичных долей [32].

Вторая по распространенности форма УЛП по типу кактус (30%). Имеет доминирующую центральную часть с мелкими вторичными долями, отходящие от основной доли в различные направления [32].

Для УЛП по типу ветрового носка (19%) характерно наличие длинной основной доли и может иметь вторичные доли, отходящие от нее [28, 32]. Реже всего встречается форма цветной капусты УЛП (3%). Имеет устье неправильной формы и сложную структуру со стороны эндокарда, с множеством долей, ни одна из которых не является основной [28, 32].

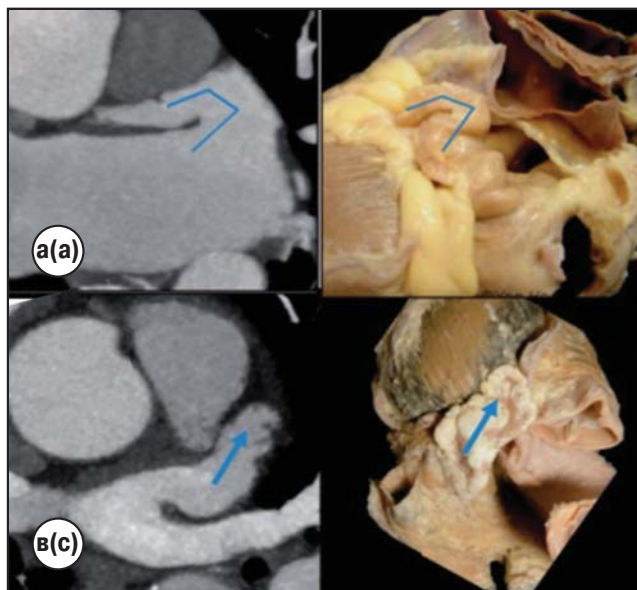


Рис. 1. Морфология ушка левого предсердия по данным МСКТ с контрастированием. Фотографии макропрепараторов.

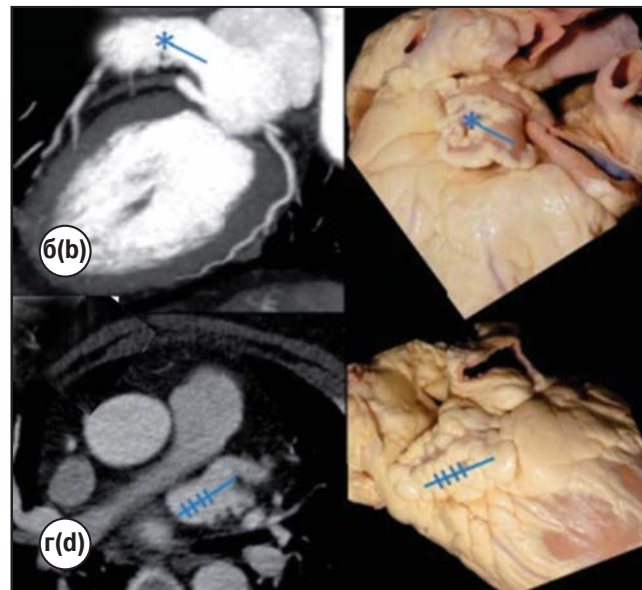
Морфология ушек левого предсердия (адаптировано из Karim N.) [28]:

- а - куриное крыльышко;
- б - ветровой носок;
- в - цветная капуста;
- г - кактус.

Fig. 1. Morphology of the left atrial appendage based on contrast-enhanced MSCT. Photographs of macropreparations.

Morphology of the left atrial appendages (Adapted from Karim N. [28]):

- a* - chicken wing;
- b* - windsock;
- c* - cauliflower;
- d* - cactus.



В ряде исследований проводился корреляционный анализ взаимосвязи формы УЛП и рисков развития ишемического инсульта у конкретной категории пациентов. Данные анализы показали противоречивые результаты [36, 37]. В связи с чем требуется проведение последующих

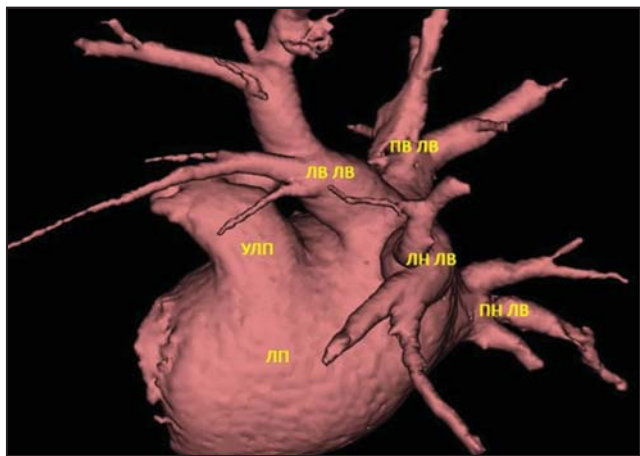


Рис. 3. Топография ушка левого предсердия к легочным венам. Трехмерная реконструкция левого предсердия, левая боковая проекция. Примечание: ЛП – левое предсердие; УЛП – ушко левого предсердия; ЛВЛВ – левая верхняя легочная вена; ЛНЛВ – левая нижняя легочная вена; ПВЛВ – правая верхняя легочная вена; ПНЛВ – правая нижняя легочная вена.

Fig. 3. Topography of the left atrial appendage to the pulmonary veins. 3D reconstruction of the left atrium, left lateral projection.

Note: LA – left atrium; LAA – left atrial appendage; LSPV – left superior pulmonary vein; LIPV – left inferior pulmonary vein; RSPV – right superior pulmonary vein; RIPV – right inferior pulmonary vein.

более детальных анализов данной проблемы на большей когорте пациентов в рамках рандомизированных многоцентровых исследований.

Таким образом, устье УЛП может быть асимметричным, в связи с чем измерение его максимального и минимального диаметров, общей площади, длинны являются важными показателями на подготовительном этапе к ампутации УЛП. Мы считаем, что в протоколе обязательно следует описывать: угол отхождения основания УЛП от ЛП, максимальный показатель диаметра основания УЛП, расстояние отхождения первых долей от устья УЛП, степень и расположение трабекул. При выполнении ампутации УЛП эндостеплером при ТА ФП данные факторы имеют важное прогностическое значение успешной и безопасной ампутации УЛП.

Топография ушка левого предсердия

Легочные вены

Устье УЛП находится в непосредственной близости от левой верхней легочной вены (ЛВЛВ) (рис. 3) [38].

У большинства пациентов, как и в представленном клиническом случае, устье УЛП и устье ЛВЛВ расположены на одном уровне. Однако, при длительно-персистирующих формах ФП наблюдается тенденция смещения устья УЛП выше или ниже относительно ЛВЛВ [39]. Левый латеральный гребень (Кумадиновый гребень, Coumadin ridge) отделяет УЛП от ЛВЛВ. Данная анатомическая структура имеет важное значение при выполнении эндокардиальных РЧА устьев легочных вен (УЛВ) [28, 39, 40]. Также, для

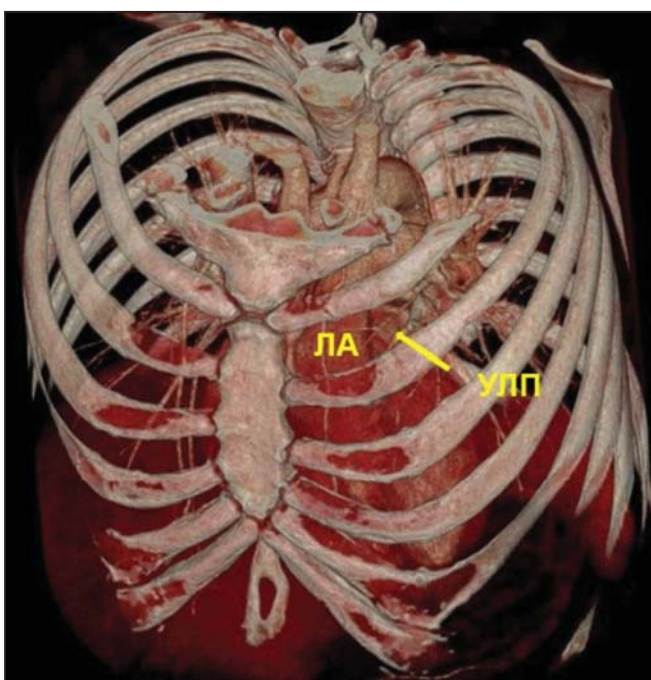


Рис. 4. Трехмерная реконструкция грудной клетки и сердца, демонстрирующая близкое расположение ствола легочной артерии к устью ушка левого предсердия.

Примечание: ЛА – ствол легочной артерии; ПП – правое предсердие; УЛП – ушко левого предсердия.

Fig. 4. Three-dimensional reconstruction of the chest and heart, demonstrating the close proximity of the pulmonary artery trunk to the left atrial appendage.

Note: PA – pulmonary artery; RA – right atrium; LAA – left atrial appendage.

интервенционного кардиолога и кардиохирурга важна характеристика всех ЛВ и их отхождение от ЛП [40]. Поэтому в протокол МСКТ исследования обязательно необходимо включать: количество ЛВ, расположение, размер и тип впадения в ЛП (типично, единым вестибулем, стволом, добавочная ЛВ).

Легочный ствол

Верхушка УЛП может быть расположена ниже ствола ЛА или левой ЛА, что делает невозможным ампутацию или окклюзию УЛП при помощи некоторых устройств (существенным препятствием (усложняет) процесс ампутации УЛП, а использование некоторых устройств для окклюзии УЛП в таких случаях невозможно) (рис.4).

Препятствием для ампутации УЛП при эпикардиальных подходах, в частности, при торакоскопической ампутации УЛП, может являться расширение (дилатация, аневризма) ствола или левой ЛА, которая будет прикрывать УЛП спереди и сбоку, что препятствует ампутации УЛП из торакоскопических доступов или субксифоидальных доступов. В дополнение к этому, прилежание (плотный контакт) между основанием УЛП (его проксимальной частью) и ЛА может повысить риск перфорации артерии в момент установки окклюдера [41].

Коронарные артерии и вены

УЛП топографически расположено над левой атриовентрикулярной бороздой. Важно отметить, что УЛП перекрывает атриовентрикулярную борозду, в которой залегает ОА и большая сердечная вена. Таким образом, УЛП плотно прилегает к (находится в непосредственной близости) от огибающей артерии (ОА) и большой сердечной вены. ОА и большая сердечная вена проходят вдоль атриовентрикулярной борозды (рис. 5) [38].

Проксимальный сегмент ОА проходит близ основания

УЛП, в некоторых случаях, соприкасается с ним. Кроме того, верхушка (кончик) УЛП способен лежать на (перекрывать) переднюю нисходящую артерию (ПНА).

Коронарная артерия синусового узла в 60% случаев может начинаться от правой коронарной артерии (ПКА), в 30% от ОА. В последнем случае, синоартериальная артерия находится в близком контакте с основанием УЛП [38]. Большая сердечная вена и вся система коронарных вен могут быть оценены с помощью МСКТ с контрастированием, в отсроченную фазу контрастирования, в фазу которая обычно используется для оценки тромбоза УЛП.

Знание топографического расположения коронарных сосудов является критически важным моментом перед процедурой эпикардиальной ампутации УЛП.

Левый диафрагмальный нерв

Несмотря на то, что диафрагмальный нерв достаточно трудно дифференцировать при МСКТ исследовании, дифференцировка целого сосудистонервного пучка возможна [42]. Левый диафрагмальный нерв лежит на поверхности перикарда, покрывающего УЛП (рис. 6) [33]. Через межпредсердную борозду проходит пучок Бахмана, соединяющий правое и левое предсердия, продолжаясь на эпикард шейки УЛП [33, 42].

Кадаверное исследование показало, что левый диафрагмальный нерв способен перекрывать верхушку УЛП у 59% пациентов и шейку УЛП у 23% [43].

Понимание (представление) хода левого диафрагмального нерва до процедуры удаления УЛП позволяет минимизировать травматизацию нерва в момент ампутации УЛП.

Хирургическая изоляция ушка левого предсердия

Хирургическая изоляция УЛП впервые была выполнена в 1949 году John Madden у пациента с тромбозом УЛП при операции на митральном клапане [30].

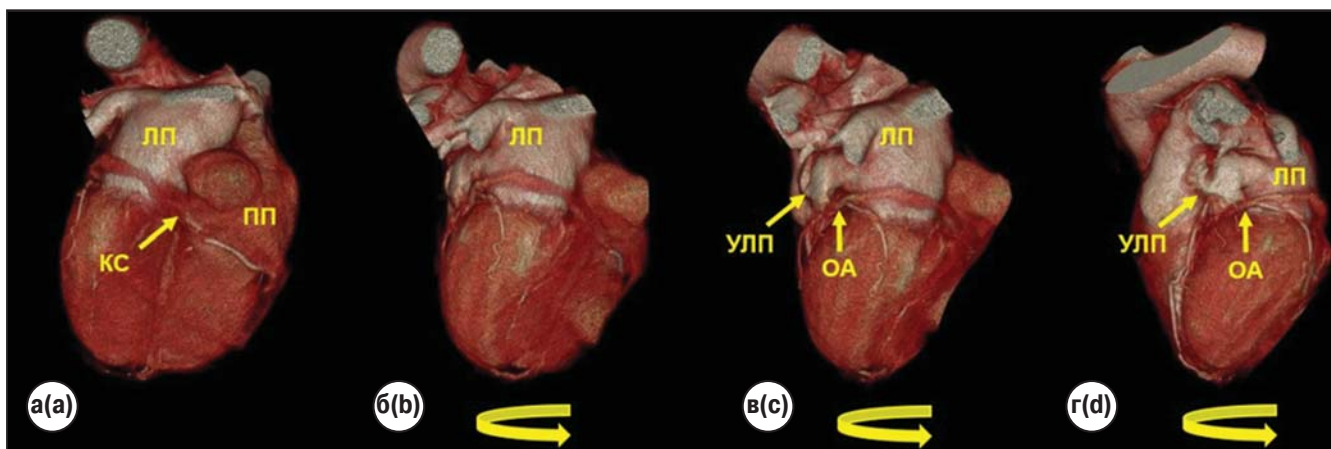


Рис. 5. Топография ушка левого предсердия к огибающей артерии. Трехмерная реконструкция сердца. Желтые стрелки указывают на поворот сердца относительно его центральной оси, начиная с проекции РА (задне-передней, А) к АР (передне-задней)

Примечание: КС – коронарный синус; ЛП – левое предсердие; ПП – правое предсердие; УЛП – ушко левого предсердия; ОА – огибающая артерия.

Fig. 5. Topography of the left atrial appendage to the circumflex artery. 3D reconstruction of the heart. Yellow arrows indicate the rotation of the heart relative to its central axis, starting from the PA (posteroanterior) projection to the AP (anteroposterior) projection.

Note: CS – coronary sinus; LA – left atrium; RA – right atrium; LAA – left atrial appendage; LA – circumflex artery.

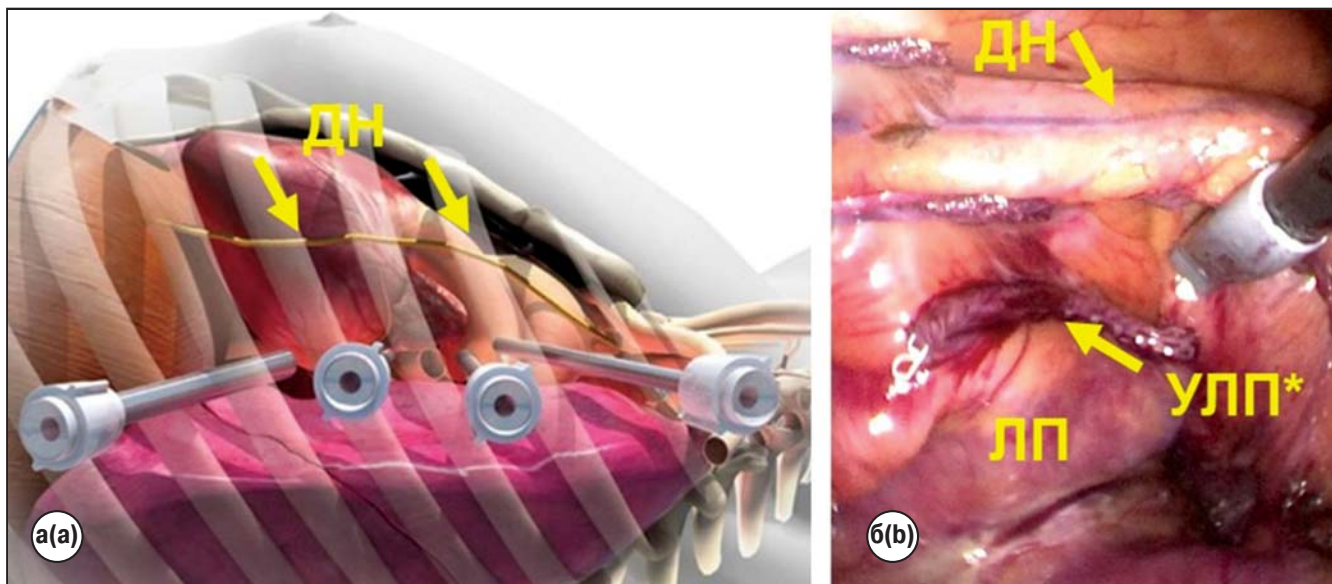


Рис. 6. Схематичное изображение расположения левого диафрагмального нерва и торакоскопических портов (а).
Интраоперационная фотография расположения левого диафрагмального нерва после перикардиотомии и после ампутации ушка левого предсердия (б).
Примечание: ДН – диафрагмальный нерв; ЛП – левое предсердие; УЛП* – остаточная ампулярная часть (*) ушка левого предсердия.

Fig. 6. Schematic representation of the location of the left phrenic nerve and thoracoscopic ports (a).
Intraoperative photograph of the location of the left phrenic nerve after pericardiectomy and after amputation of the left atrial appendage (b).
Note: DN – phrenic nerve; LA – left atrium; LAA* – residual ampullary portion (*) of the left atrial appendage.

В начале 1990-х годов James Cox ввел в широкое клиническое применение для лечения ФП процедуру Cox-Maze III, которая за исключением процедуры хирургической резекции/фрагментации ЛП включала удаление УЛП [87]. На сегодняшний день в хирургической изоляции УЛП выделяют следующие методы: (1) швирование; (2) перевязка; (3) ампутация и (4) клипирование. Показатели успешной изоляции УЛП вариабельны и составляют от 17 до 95% [12, 47, 48]. До сих пор не существует данных рандомизированных исследований, в которых бы было доказано, что хирургическая изоляция/ампутация УЛП снижает риски развития тромбоэмболических инсультов [12]. В связи со стремительным развитием методов минимальноинвазивной видеассистированной аблации из торакоскопических доступов, разрабатываются новые методы безопасного удаления, изоляции УЛП из системного кровотока. К ним относятся устройства лигирования из субксефоидального доступа [44], эндостеплеры с механизированным сшивающе-режущим обеспечением [45] и устройства AtriClip [46].

Важное значение имеет топографическое расположение УЛП в грудной клетки пациента. С целью выбора оптимального межреберья для установки торакоскопического порта.

Важное значение имеет угол отхождения УЛП от левого предсердия, его форма. При анализе положения УЛП в ортогональных плоскостях грудной клетки оцениваем: переднюю (по отношению к грудине) и заднюю (по отношению к позвоночнику), а также левостороннее (под-

мышечная впадина) и медиальную (срединная линия). Переднелатеральное расположение УЛП является более благоприятным, так как в таком случае его ампутация выполнима эндостеплером с минимальными рисками, в отличие от задне- и среднелатерального расположения. Торакоскопические доступы позволяют визуализировать всё УЛП, эндостеплер может быть подведен к основанию ушка ЛП через боковой порт в IV, V или VI межреберья по среднеподмышечной линии, обеспечивая оптимальную визуализацию УЛП после перикардиотомии.

Техника ампутации ушка левого предсердия

Ампутация ушка ЛП с помощью эндостеплера EndoGIA (Medtronic, Minneapolis, Minnesota, США) обычно является завершающим этапом процедуры торакоскопической аблации ФП.

Торакоскопический доступ для эндостеплера обеспечивается в V-VI межреберье по среднеподмышечной линии слева. При помощи тупфера обеспечивается оптимальное положение ушка ЛП между браншами зажима эндостеплера. При отсутствии полного захвата ушка ЛП у основания, следует выполнить повторное перепозиционирование. Под постоянным визуальным контролем, для исключения захвата близлежащих тканей, производили смыкания бранш эндостеплера. Одномоментно, тупфером производили отведение паренхимы левого легкого. Производили пробное смыкание бранш эндостеплера, при удовлетворительном (полном) захвате основания ушка ЛП выполняли автоматическое прошивание и резекцию ушка ЛП. УЛП имеет толстый, прочный миокард на верхушке, но

очень тонкий и ломкий в базальной части. В связи с этим, мы не рекомендуем пережимать и подтягивать УЛП при использовании эндостеплера. Очень важно обратить внимание на эту анатомическую особенность для последующего повышения безопасности и эффективности процедуры [12].

ЗАКЛЮЧЕНИЕ

В связи со стремительным развитием видеоассистированных торакоскопических методов эпикардиальной ампутации/изоляции УЛП, значимость диагностических методов визуализации перед операцией для хирургов существенно возросла. Так как минимальноинвазивная хирургия предполагает ряд ограничений, обусловленных сложностью доступа, стремлением к меньшей травматичности в ущерб достойной визуализации операционного поля. В связи с чем, заблаговременное определение оптимального доступа очень важно для оперирующего хирурга. ЧП ЭхоКГ, однозначно, является «золотым» стандартом в визуализации УЛП, как при выполнении чрескожной имплантации окклюдера, так и при хирургических методах ампутации и изоляции УЛП. ЧП ЭхоКГ позволяет оценить размер УЛП, его устье, форму, выполняет ведущую роль в оценке тромботических масс в полости УЛП. Но ЧП ЭхоКГ не дает возможности полной оценки топографии УЛП по отношению к другим структурам сердца и органам грудной клетки. МСКТ с контрастированием позволяет выполнить трехмерную реконструкцию, что обеспечивает детальную

характеристику УЛП и является необходимым и полезным дополнением для принятия решения хирургом до операции о выборе наиболее оптимальной тактики изоляции УЛП из системного кровотока. Специалист лучевой диагностики является частью кардиохирургической команды в обеспечении максимально эффективной, безопасной ампутации УЛП.

Комплексная работа, в единой команде, с включением нескольких специалистов, способна повысить качество устройство и адаптировать их широкое клиническое применение индивидуально, в отношении каждого из пациентов.

Ряд современных устройств для изоляции УЛП имеют ряд ограничений, связанных с индивидуальными особенностями УЛП и подчеркивают необходимость создания новых устройств, соответствующих различной морфологии и размерам УЛП. В будущем МСКТ с контрастированием способна позволить создавать предоперационные модели УЛП на трехмерном принтере, адаптируя устройства для его изоляции к анатомическим особенностям пациента.

В связи со стремительным развитием возможностей и улучшения качества методов визуализации будущие цели по их применению способны включать: печать индивидуальных устройств окклюзии УЛП на основании данных, полученных с помощью МСКТ с контрастированием и трехмерной ЧП ЭхоКГ.

Последующий прогресс в данной области будет зависеть от сотрудничества инженеров, специалистов лучевой диагностики, аритмологов и кардиохирургов. ■

СПИСОК ЛИТЕРАТУРЫ

1. Аракелян М.Г., Бокерия Л.А., Васильева Е.Ю., и др. Фибрillation и трепетание предсердий. Клинические рекомендации 2020. Российский кардиологический журнал. 2021; 26(7): 45-94. DOI: [10.15829/1560-4071-2021-4594](https://doi.org/10.15829/1560-4071-2021-4594)
2. Колбин А.С., Мосикян А.А., Татарский Б.А. Социально-экономическое бремя фибрillationи предсердий в России: динамика за 7 лет (2010–2017 гг.). Вестник аритмологии. 2018; 92: 42–48.
3. Krijthe B.P., Kunst A., Benjamin E.J., et al. Projections on the number of individuals with atrial fibrillation in the European Union, from 2000 to 2060. Eur Heart J. 2013; 34(35): 2746-2751. DOI: [10.1093/eurheartj/eht280](https://doi.org/10.1093/eurheartj/eht280)
4. Филатов А.Г., Тарашвили Э.Г. Эпидемиология и социальная значимость фибрillationи предсердий. Анналы аритмологии. 2012; 2: 5-13
5. Piccini J.P., Hammill B.G., Sinner M.F., et al. Clinical course of atrial fibrillation in older adults: the importance of cardiovascular events beyond stroke. Eur Heart J. 2014; 35(4): 250-256. DOI: [10.1093/eurheartj/eht483](https://doi.org/10.1093/eurheartj/eht483)
6. Wolf P.A., Abbott R.D., Kannel W.B. Atrial fibrillation as an independent risk factor for stroke: the Framingham Study. Stroke. 1991; 22(8): 983-988. DOI: [10.1161/01.str.22.8.983](https://doi.org/10.1161/01.str.22.8.983)
7. Safavi-Naeini P., Rasekh A. Thromboembolism in Atrial Fibrillation: Role of the Left Atrial Appendage. Card Electrophysiol Clin. 2020; 12(1): 13-20. DOI: [10.1016/j.ccep.2019.11.003](https://doi.org/10.1016/j.ccep.2019.11.003)
8. Abbara S., Blanke P., Maroules C.D., et al. SCCT guidelines for the performance and acquisition of coronary computed tomographic angiography: a report of the society of Cardiovascular Computed Tomography Guidelines Committee: Endorsed by the North American Society for Cardiovascular Imaging (NASCI). J Cardiovasc Comput Tomogr. 2016; 10: 435–449. DOI: [10.1016/j.jcct.2016.10.002](https://doi.org/10.1016/j.jcct.2016.10.002)
9. Deitelzweig S., Bergrath E., di Fusco M., et al. Real-world evidence comparing oral anticoagulants in non-valvular atrial fibrillation: a systematic review and network meta-analysis. Future Cardiol. 2022; 18(5): 393-405. DOI: [10.2217/fca-2021-0120](https://doi.org/10.2217/fca-2021-0120)
10. Słodowska K., Szczepanek E., Dudkiewicz D., et al. Morphology of the Left Atrial Appendage: Introduction of a New Simplified Shape-Based Classification System. Heart Lung Circ. 2021; 30(7): 1014-1022. DOI: [10.1016/j.hlc.2020.12.006](https://doi.org/10.1016/j.hlc.2020.12.006)
11. Kawabata M., Goya M., Maeda S., et al. A Survey of Direct Oral Anticoagulant Cessation in General Surgery and Outcomes in Patients with Nonvalvular Atrial Fibrillation. Int Heart J. 2020; 61(5): 905-912. DOI: [10.1536/ihj.19-625](https://doi.org/10.1536/ihj.19-625)

12. Ревишвили А.Ш., Кадырова М., Стребкова Е.Д., и др. Ампутация ушка левого предсердия с использованием эндостеплера при торакоскопической аблации фибрилляции предсердий. Комплексные проблемы сердечно-сосудистых заболеваний. 2023; 12(1): 58-71. [DOI:10.17802/2306-1278-2023-12-1-58-71](https://doi.org/10.17802/2306-1278-2023-12-1-58-71)
13. Healey J.S., Crystal E., Lamy A., et al. Left Atrial Appendage Occlusion Study (LAAOS): results of a randomized controlled pilot study of left atrial appendage occlusion during coronary bypass surgery in patients at risk for stroke. Am Heart J. 2005; 150(2): 288-93. [DOI: 10.1016/j.ahj.2004.09.054](https://doi.org/10.1016/j.ahj.2004.09.054)
14. Whitlock R., Healey J., Vincent J., et al. Rationale and design of the Left Atrial Appendage Occlusion Study (LAAOS) III. Ann Cardiothorac Surg. 2014; 3(1): 45-54. [DOI: 10.3978/j.issn.2225-319x.2013.12.06](https://doi.org/10.3978/j.issn.2225-319x.2013.12.06)
15. Osmancik P., Budera P., Zdarska J., et al. Residual echocardiographic and computed tomography findings after thoracoscopic occlusion of the left atrial appendage using the AtriClip PRO device. Interact Cardiovasc Thorac Surg. 2018; 26(6): 919-925. [DOI:10.1093/icvts/ivx427](https://doi.org/10.1093/icvts/ivx427)
16. Santana J.M., Rosell F.M., Dave B. Intraoperative echocardiographic contrast opacifies the left atrial appendage and assists in surgical exclusion. Ann Card Anaesth. 2022; 25(1): 77-80. [DOI: 10.4103/aca.ACA_192_20](https://doi.org/10.4103/aca.ACA_192_20)
17. Oda S., Honda K., Yoshimura A., et al. 256-Slice coronary computed tomographic angiography in patients with atrial fibrillation: optimal reconstruction phase and image quality. Eur Radiol. 2016; 26: 55-63. [DOI:10.1007/s00330-015-3822-0](https://doi.org/10.1007/s00330-015-3822-0)
18. Shinbane J.S. Cardiovascular computed tomographic angiography in patients with atrial fibrillation: challenges of anatomy, physiology, and electrophysiology. J Cardiovasc Comput Tomogr. 2008; 2: 181-182. [DOI: 10.1016/j.jcct.2008.04.001](https://doi.org/10.1016/j.jcct.2008.04.001)
19. Kondo T., Kumamaru K.K., Fujimoto S., et al. Prospective ECG-gated coronary 320-MDCT angiography with absolute acquisition delay strategy for patients with persistent atrial fibrillation. AJR Am J Roentgenol. 2013; 201: 1197-1203. [DOI: 10.2214/ajr.12.10140](https://doi.org/10.2214/ajr.12.10140)
20. Wen B., Xu L., Liang J., et al. A preliminary study of computed tomography coronary angiography within a single cardiac cycle in patients with atrial fibrillation using 256-row detector computed tomography. J Comput Assist Tomogr. 2018; 42: 277-281. [DOI:10.1097/rct.0000000000000683](https://doi.org/10.1097/rct.0000000000000683)
21. Xu B., Betancor J., Sato K., et al. Computed tomography measurement of the left atrial appendage for optimal sizing of the Watchman device. J Cardiovasc Comput Tomogr. 2018; 12: 50-55. [DOI:10.1016/j.jcct.2017.11.012](https://doi.org/10.1016/j.jcct.2017.11.012)
22. Henry T.S., Hammer M.M., Little B.P., et al. Smoke: how to differentiate flow-related artifacts from pathology on thoracic computed tomographic angiography. J Thorac Imaging. 2019; 34: W109-w120. [DOI:10.1097/rti.0000000000000429](https://doi.org/10.1097/rti.0000000000000429)
23. Bilchick K.C., Mealor A., Gonzalez J., et al. Effectiveness of integrating delayed computed tomography angiography imaging for left atrial appendage thrombus exclusion into the care of patients undergoing ablation of atrial fibrillation. Heart Rhythm. 2016; 13: 12-19. [DOI:10.1016/j.hrthm.2015.09.002](https://doi.org/10.1016/j.hrthm.2015.09.002)
24. Romero J., Husain S.A., Kelesidis I., et al. Detection of left atrial appendage thrombus by cardiac computed tomography in patients with atrial fibrillation: a meta-analysis. Circ Cardiovasc Imaging. 2013; 6: 185-194. [DOI: 10.1161/circimaging.112.000153](https://doi.org/10.1161/circimaging.112.000153)
25. Ревишвили А.Ш., Стребкова Е.Д., Артюхина Е.А., Малышенко Е.С., Новиков М.А., Кадырова М. Эффективность торакоскопического лечения непароксизмальных форм фибрилляции предсердий. Вестник аритмологии. [DOI:10.35336/VA-1160](https://doi.org/10.35336/VA-1160)
26. Ohtsuka T., Nonaka T., Hisagi M., et al. Thoracoscopic stapler-and-loop technique for left atrial appendage closure in nonvalvular atrial fibrillation: mid-term outcomes in 201 patients. Heart Rhythm. 2018; 15: 1314-1320. [DOI: 10.1016/j.hrthm.2018.05.026](https://doi.org/10.1016/j.hrthm.2018.05.026)
27. Bhuta S., Cao C., Pieper J.A., et al. Cardiac magnetic resonance imaging for left atrial appendage closure planning. Pacif Clin Electrophysiol. 2023; 46(7): 745-751. [DOI: 10.1111/pace.14713](https://doi.org/10.1111/pace.14713)
28. Karim N., Ho S.Y., Nicol E., et al. The left atrial appendage in humans: structure, physiology, and pathogenesis. Europace. 2020; 22(1): 5-18. [DOI:10.1093/europace/euz212](https://doi.org/10.1093/europace/euz212)
29. Di Biase L. Does the left atrial appendage morphology correlate with the risk of stroke in patients with atrial fibrillation? Results from a multicenter study. J Am Coll Cardiol. 2012; 60(6): 531-538. [DOI:10.1016/j.jacc.2012.04.032](https://doi.org/10.1016/j.jacc.2012.04.032)
30. Madden J.L. Resection of the left auricular appendix; a prophylaxis for recurrent arterial emboli. J Am Med Assoc. 1949; 140: 769-772.
31. Wang Y., Di Biase L., Horton R.P., Nguyen T., Morhanty P., Natale A. Left atrial appendage studied by computed tomography to help planning for appendage closure device placement. J Cardiovasc Electrophysiol. 2010; 21: 973-82. [DOI: 10.1111/j.1540-8167.2010.01814.x](https://doi.org/10.1111/j.1540-8167.2010.01814.x)
32. Di Biase L., Santangeli P., Anselmino M., et al. Does the left atrial appendage morphology correlate with the risk of stroke in patients with atrial fibrillation? Results from a multi-center study. J Am Coll Cardiol. 2012; 60: 531-538. [DOI:10.1016/j.jacc.2012.04.032](https://doi.org/10.1016/j.jacc.2012.04.032)
33. Ho S.Y., Cabrera J.A., Sanchez-Quintana D. Left atrial anatomy revisited. Circ Arrhythm Electrophysiol. 2012; 5: 220-8. [DOI: 10.1161/circep.111.962720](https://doi.org/10.1161/circep.111.962720)
34. Cabrera J.A., Saremi F., Sanchez-Quintana D. Left atrial appendage: anatomy and imaging landmarks pertinent to percutaneous transcatheter occlusion. Heart. 2014; 100: 1636-50. [DOI: 10.1136/heartjnl-2013-304464](https://doi.org/10.1136/heartjnl-2013-304464)
35. Beigel R., Wunderlich N.C., Ho S.Y., Arsanjani R., Siegel R.J. The left atrial appendage: anatomy, function, and noninvasive evaluation. JACC Cardiovasc Imaging. 2014; 7: 1251-65. [DOI:10.1016/j.jcmg.2014.08.009](https://doi.org/10.1016/j.jcmg.2014.08.009)
36. Vira T., Pechlivanoglou P., Connelly K., et al. Cardiac computed tomography and magnetic resonance imaging vs. transoesophageal echocardiography for diagnosing left atrial appendage thrombi. Europace. 2019; 21: e1-e10. [DOI:10.1093/europace/euy142](https://doi.org/10.1093/europace/euy142)
37. Luperio F., Carlos Ruiz J., Briceno D.F., et al. Left atrial appendage morphology assessment for risk stratification of

- embolic stroke in patients with atrial fibrillation: a meta-analysis. *Heart Rhythm*. 2016; 13: 1402-1409. [DOI:10.1016/j.hrthm.2016.03.042](https://doi.org/10.1016/j.hrthm.2016.03.042)
38. Lindner S., Behnes M., Wenke A., et al. Relation of left atrial appendage closure devices to topographic neighboring structures using standardized imaging by cardiac computed tomography angiography. *Clin Cardiol*. 2019; 42: 264-269. [DOI:10.1002/clc.23136](https://doi.org/10.1002/clc.23136)
39. Wongcharoen W., Tsao H.M., Wu M.H., et al. Morphologic characteristics of the left atrial appendage, roof, and septum: implications for the ablation of atrial fibrillation. *J Cardiovasc Electrophysiol*. 2006; 17: 951-956. [DOI: 10.1111/j.1540-8167.2006.00549.x](https://doi.org/10.1111/j.1540-8167.2006.00549.x)
40. Liu F.Z., Lin W.D., Liao H.T., et al. Mid-term outcomes of concomitant left atrial appendage closure and catheter ablation for non-valvular atrial fibrillation: a multicenter registry. *Heart Vessels*. 2019; 34: 860-867. [DOI: 10.1007/s00380-018-1312-4](https://doi.org/10.1007/s00380-018-1312-4)
41. Halkin A., Cohen C., Rosso R., et al. Left atrial appendage and pulmonary artery anatomic relationship by cardiac-gated computed tomography: implications for late pulmonary artery perforation by left atrial appendage closure devices. *Heart Rhythm*. 2016; 13: 2064-2069. [DOI: 10.1016/j.hrthm. 2016.07.015](https://doi.org/10.1016/j.hrthm.2016.07.015)
42. Wang Y.J., Liu L., Zhang M.C., et al. Imaging of pericardio-phrenic bundles using multislice spiral computed tomography for phrenic nerve anatomy. *J Cardiovasc Electrophysiol*. 2016; 27: 961-971. [DOI: 10.1111/jce.13003](https://doi.org/10.1111/jce.13003)
43. Sanchez-Quintana D., Ho S.Y., Climent V., et al. Anatomic evaluation of the left phrenic nerve relevant to epicardial and endocardial catheter ablation: implications for phrenic nerve injury. *Heart Rhythm*. 2009; 6: 764-768. [DOI: 10.1016/j.hrthm.2009.02.029](https://doi.org/10.1016/j.hrthm.2009.02.029)
44. Beaver T.M., Hedna V.S., Khanna A.Y., et al. Thoracoscopic ablation with appendage ligation versus medical therapy for stroke prevention: a proof-of-concept randomized trial. *Innovations (Phila)*. 2016; 11: 99-105. [DOI: 10.1097/im.0000000000000226](https://doi.org/10.1097/im.0000000000000226)
45. Ohtsuka T., Ninomiya M., Nonaka T., et al. Thoracoscopic stand-alone left atrial appendectomy for thromboembolism prevention in nonvalvular atrial fibrillation. *J Am Coll Cardiol*. 2013; 62: 103-107. [DOI: 10.1016/j.jacc.2013.01.017](https://doi.org/10.1016/j.jacc.2013.01.017)
46. Caliskan E., Sahin A., Yilmaz M., et al. Epicardial left atrial appendage AtriClip occlusion reduces the incidence of stroke in patients with atrial fibrillation undergoing cardiac surgery. *Europace*. 2018; 20: e105-e114. [DOI: 10.1093/europace/eux211](https://doi.org/10.1093/europace/eux211)
47. Ailawadi G., Gerdisch M.W., Harvey R.L., Hooker R.L., Damiano R.J., Salamon T., et al. Exclusion of the left atrial appendage with a novel device: early results of a multicenter trial. *J Thorac Cardiovasc Surg*. 2011; 142: 1002-9. [DOI: 10.1016/j.jtcvs.2011.07.052](https://doi.org/10.1016/j.jtcvs.2011.07.052)
48. Dawson A.G., Asopa S., Dunning J. Should patients undergoing cardiac surgery with atrial fibrillation have left atrial appendage exclusion? *Interact Cardiovasc Thorac Surg*. 2010; 10: 306-11. [DOI:10.1510/icvts.2009.227991](https://doi.org/10.1510/icvts.2009.227991)

REFERENCES

1. Arakelyan MG, Bockeria LA, Vasilieva EYu, et al. 2020 Clinical guidelines for Atrial fibrillation and atrial flutter. *Russian Journal of Cardiology*. 2021; 26(7): 4594. [DOI: 10.15829/1560-4071-2021-4594](https://doi.org/10.15829/1560-4071-2021-4594) [In Russ].
2. Kolbin AS, Mosikyan AA, Tatarsky BA. Socioeconomic burden of atrial fibrillations in russia: seven-year trends (2010-2017). *Journal of Arrhythmology*. 2018; (92): 42-48. [In Russ].
3. Krijthe BP, Kunst A, Benjamin EJ, et al. Projections on the number of individuals with atrial fibrillation in the European Union, from 2000 to 2060. *Eur Heart J*. 2013; 34(35): 2746-2751. [DOI: 10.1093/eurheartj/eht280](https://doi.org/10.1093/eurheartj/eht280)
4. Filatov AG, Tarashvili EG. Epidemiology and social significance of atrial fibrillation. *Annals of arrhythmology*. 2012; 2: 5-13. [In Russ].
5. Piccini JP, Hammill BG, Sinner MF, et al. Clinical course of atrial fibrillation in older adults: the importance of cardiovascular events beyond stroke. *Eur Heart J*. 2014; 35(4): 250-256. [DOI: 10.1093/eurheartj/eht483](https://doi.org/10.1093/eurheartj/eht483)
6. Wolf PA, Abbott RD, Kannel WB. Atrial fibrillation as an independent risk factor for stroke: the Framingham Study. *Stroke*. 1991; 22(8): 983-988. [DOI: 10.1161/01.str.22.8.983](https://doi.org/10.1161/01.str.22.8.983)
7. Safavi-Naeini P, Rasekh A. Thromboembolism in Atrial Fibrillation: Role of the Left Atrial Appendage. *Card Electrophysiol Clin*. 2020; 12(1): 13-20. [DOI:10.1016/j.ccep.2019.11.003](https://doi.org/10.1016/j.ccep.2019.11.003)
8. Abbara S, Blanke P, Maroules CD, et al. SCCT guidelines for the performance and acquisition of coronary computed tomographic angiography: a report of the Society of Cardiovascular Computed Tomography Guidelines Committee: Endorsed by the North American Society for Cardiovascular Imaging (NASCI). *J Cardiovasc Comput Tomogr*. 2016; 10: 435-449. [DOI:10.1016/j.jcct.2016.10.002](https://doi.org/10.1016/j.jcct.2016.10.002)
9. Deitelzweig S, Bergrath E, di Fusco M, et al. Real-world evidence comparing oral anticoagulants in non-valvular atrial fibrillation: a systematic review and network meta-analysis. *Future Cardiol*. 2022; 18(5): 393-405. [DOI:10.2217/fca-2021-0120](https://doi.org/10.2217/fca-2021-0120)
10. Słodowska K, Szczepanek E, Dudkiewicz D, et al. Morphology of the Left Atrial Appendage: Introduction of a New Simplified Shape-Based Classification System. *Heart Lung Circ*. 2021; 30(7): 1014-1022. [DOI:10.1016/j.hlc.2020.12.006](https://doi.org/10.1016/j.hlc.2020.12.006)
11. Kawabata M, Goya M, Maeda S, et al. A Survey of Direct Oral Anticoagulant Cessation in General Surgery and Outcomes in Patients with Nonvalvular Atrial Fibrillation. *Int Heart J*. 2020; 61(5): 905-912. [DOI:10.1536/ihj.19-625](https://doi.org/10.1536/ihj.19-625)
12. Revishvili AS, Kadirova M, Strebkova ED, et al. Left atrial appendage exclusion using a stapler with thoracoscopic ablation of atrial fibrillation. *Complex Issues of Cardiovascular Diseases*. 2023; 12(1): 58-71. [DOI: 10.17802/2306-1278-2023-12-1-58-71](https://doi.org/10.17802/2306-1278-2023-12-1-58-71) [In Russ].

13. Healey JS, Crystal E, Lamy A, et al. Left Atrial Appendage Occlusion Study (LAAOS): results of a randomized controlled pilot study of left atrial appendage occlusion during coronary bypass surgery in patients at risk for stroke. *Am Heart J.* 2005; 150(2): 288-93. [DOI: 10.1016/j.ahj.2004.09.054](https://doi.org/10.1016/j.ahj.2004.09.054)
14. Whitlock R, Healey J, Vincent J, et al. Rationale and design of the Left Atrial Appendage Occlusion Study (LAAOS) III. *Ann Cardiothorac Surg.* 2014; 3(1): 45-54. [DOI:10.3978/j.issn.2225-319x.2013.12.06](https://doi.org/10.3978/j.issn.2225-319x.2013.12.06)
15. Osmancik P, Budera P, Zdarska J, et al. Residual echocardiographic and computed tomography findings after thoracoscopic occlusion of the left atrial appendage using the AtriClip PRO device. *Interact Cardiovasc Thorac Surg.* 2018; 26(6): 919-925. [DOI: 10.1093/icvts/ivx427](https://doi.org/10.1093/icvts/ivx427)
16. Santana JM, Rosell FM, Dave B. Intraoperative echocardiographic contrast opacifies the left atrial appendage and assists in surgical exclusion. *Ann Card Anaesth.* 2022; 25(1): 77-80. [DOI: 10.4103/aca.aca_192_20](https://doi.org/10.4103/aca.aca_192_20)
17. Oda S, Honda K, Yoshimura A, et al. 256-Slice coronary computed tomographic angiography in patients with atrial fibrillation: optimal reconstruction phase and image quality. *Eur Radiol.* 2016; 26: 55-63. [DOI: 10.1007/s00330-015-3822-0](https://doi.org/10.1007/s00330-015-3822-0)
18. Shinbane JS. Cardiovascular computed tomographic angiography in patients with atrial fibrillation: challenges of anatomy, physiology, and electrophysiology. *J Cardiovasc Comput Tomogr.* 2008; 2: 181-182. [DOI: 10.1016/j.jcct.2008.04.001](https://doi.org/10.1016/j.jcct.2008.04.001)
19. Kondo T, Kumamaru KK, Fujimoto S, et al. Prospective ECG-gated coronary 320-MDCT angiography with absolute acquisition delay strategy for patients with persistent atrial fibrillation. *AJR Am J Roentgenol.* 2013; 201: 1197-1203. [DOI: 10.2214/ajr.12.10140](https://doi.org/10.2214/ajr.12.10140)
20. Wen B, Xu L, Liang J, et al. A preliminary study of computed tomography coronary angiography within a single cardiac cycle in patients with atrial fibrillation using 256-row detector computed tomography. *J Comput Assist Tomogr.* 2018; 42: 277-281. [DOI: 10.1097/rct.0000000000000683](https://doi.org/10.1097/rct.0000000000000683)
21. Xu B, Betancor J, Sato K, et al. Computed tomography measurement of the left atrial appendage for optimal sizing of the Watchman device. *J Cardiovasc Comput Tomogr.* 2018; 12: 50-55. [DOI: 10.1016/j.jcct.2017.11.012](https://doi.org/10.1016/j.jcct.2017.11.012)
22. Henry TS, Hammer MM, Little BP, et al. Smoke: how to differentiate flow-related artifacts from pathology on thoracic computed tomographic angiography. *J Thorac Imaging.* 2019; 34: W109-w120. [DOI: 10.1097/rti.0000000000000429](https://doi.org/10.1097/rti.0000000000000429)
23. Bilchick KC, Mealer A, Gonzalez J, et al. Effectiveness of integrating delayed computed tomography angiography imaging for left atrial appendage thrombus exclusion into the care of patients undergoing ablation of atrial fibrillation. *Heart Rhythm.* 2016; 13: 12-19. [DOI: 10.1016/j.hrthm.2015.09.002](https://doi.org/10.1016/j.hrthm.2015.09.002)
24. Romero J, Husain SA, Kelesidis I, et al. Detection of left atrial appendage thrombus by cardiac computed tomography in patients with atrial fibrillation: a meta-analysis. *Circ Cardiovasc Imaging.* 2013; 6: 185-194. [DOI: 10.1161/circimaging.112.000153](https://doi.org/10.1161/circimaging.112.000153)
25. Revishvili A.Sh., Strebkova ED, Artyukhina EA, et al. The effectiveness of thoracoscopic treatment of non-paroxysmal atrial fibrillation. *Journal of Arrhythmology.* 2023; 30(3): 23-31. [DOI: 10.35336/VA-1160](https://doi.org/10.35336/VA-1160) [In Russ].
26. Ohtsuka T, Nonaka T, Hisagi M, et al. Thoracoscopic stapler-and-loop technique for left atrial appendage closure in nonvalvular atrial fibrillation: mid-term outcomes in 201 patients. *Heart Rhythm.* 2018; 15: 1314-1320. [DOI: 10.1016/j.hrthm.2018.05.026](https://doi.org/10.1016/j.hrthm.2018.05.026)
27. Bhuta S, Cao C, Pieper JA, et al. Cardiac magnetic resonance imaging for left atrial appendage closure planning. *Pacing Clin Electrophysiol.* 2023; 46(7): 745-751. [DOI: 10.1111/pace.14713](https://doi.org/10.1111/pace.14713)
28. Karim N, Ho SY, Nicol E, et al. The left atrial appendage in humans: structure, physiology, and pathogenesis. *Europace.* 2020; 22(1): 5-18. [DOI:10.1093/europace/euz212](https://doi.org/10.1093/europace/euz212)
29. Di Biase L. Does the left atrial appendage morphology correlate with the risk of stroke in patients with atrial fibrillation? Results from a multicenter study. *J Am Coll Cardiol.* 2012; 60(6): 531-538. [DOI: 10.1016/j.jacc.2012.04.032](https://doi.org/10.1016/j.jacc.2012.04.032)
30. Madden JL. Resection of the left auricular appendix; a prophylaxis for recurrent arterial emboli. *J Am Med Assoc.* 1949; 140: 769-772.
31. Wang Y, Di Biase L, Horton RP, et al. Left atrial appendage studied by computed tomography to help planning for appendage closure device placement. *J Cardiovasc Electrophysiol.* 2010; 21: 973-82. [DOI: 10.1111/j.1540-8167.2010.01814.x](https://doi.org/10.1111/j.1540-8167.2010.01814.x)
32. Di Biase L, Santangeli P, Anselmino M, et al. Does the left atrial appendage morphology correlate with the risk of stroke in patients with atrial fibrillation? Results from a multicenter study. *J Am Coll Cardiol.* 2012; 60: 531-538. [DOI: 10.1016/j.jacc.2012.04.032](https://doi.org/10.1016/j.jacc.2012.04.032)
33. Ho SY, Cabrera JA, Sanchez-Quintana D. Left atrial anatomy revisited. *Circ Arrhythm Electrophysiol.* 2012; 5: 220-8. [DOI: 10.1161/circep.111.962720](https://doi.org/10.1161/circep.111.962720)
34. Cabrera JA, Saremi F, Sanchez-Quintana D. Left atrial appendage: anatomy and imaging landmarks pertinent to percutaneous transcatheter occlusion. *Heart.* 2014; 100: 1636-50. [DOI: 10.1136/heartjnl-2013-304464](https://doi.org/10.1136/heartjnl-2013-304464)
35. Beigel R, Wunderlich NC, Ho SY, et al. The left atrial appendage: anatomy, function, and noninvasive evaluation. *JACC Cardiovasc Imaging.* 2014; 7: 1251-65. [DOI: 10.1016/j.jcmg.2014.08.009](https://doi.org/10.1016/j.jcmg.2014.08.009)
36. Vira T, Pechlivanoglou P, Connelly K, et al. Cardiac computed tomography and magnetic resonance imaging vs. transesophageal echocardiography for diagnosing left atrial appendage thrombi. *Europace.* 2019; 21: e1-e10. [DOI: 10.1093/europace/euy142](https://doi.org/10.1093/europace/euy142)
37. Luperio F, Carlos Ruiz J, Briceno DF, et al. Left atrial appendage morphology assessment for risk stratification of embolic stroke in patients with atrial fibrillation: a meta-analysis. *Heart Rhythm.* 2016; 13: 1402-1409. [DOI:10.1016/j.hrthm.2016.03.042](https://doi.org/10.1016/j.hrthm.2016.03.042)
38. Lindner S, Behnes M, Wenke A, et al. Relation of left atrial appendage closure devices to topographic neighboring structures using standardized imaging by cardiac computed tomography angiography. *Clin Cardiol.* 2019; 42: 264-269. [DOI:10.1002/clc.23136](https://doi.org/10.1002/clc.23136)
39. Wongcharoen W, Tsao HM, Wu MH, et al. Morphologic

characteristics of the left atrial appendage, roof, and septum: implications for the ablation of atrial fibrillation. *J Cardiovasc Electrophysiol.* 2006; 17: 951–956. DOI: [10.1111/j.1540-8167.2006.00549.x](https://doi.org/10.1111/j.1540-8167.2006.00549.x)

40. Liu FZ, Lin WD, Liao HT, et al. Mid-term outcomes of concomitant left atrial appendage closure and catheter ablation for non-valvular atrial fibrillation: a multicenter registry. *Heart Vessels.* 2019; 34: 860–867. DOI: [10.1007/s00380-018-1312-4](https://doi.org/10.1007/s00380-018-1312-4)

41. Halkin A, Cohen C, Rosso R, et al. Left atrial appendage and pulmonary artery anatomic relationship by cardiac-gated computed tomography: implications for late pulmonary artery perforation by left atrial appendage closure devices. *Heart Rhythm.* 2016; 13: 2064–2069. DOI: [10.1016/j.hrthm.2016.07.015](https://doi.org/10.1016/j.hrthm.2016.07.015)

42. Wang YJ, Liu L, Zhang MC, et al. Imaging of pericardio-phrenic bundles using multislice spiral computed tomography for phrenic nerve anatomy. *J Cardiovasc Electrophysiol.* 2016; 27: 961–971. DOI: [10.1111/jce.13003](https://doi.org/10.1111/jce.13003)

43. Sanchez-Quintana D, Ho SY, Climent V, et al. Anatomic evaluation of the left phrenic nerve relevant to epicardial and endocardial catheter ablation: implications for phrenic nerve injury. *Heart Rhythm.* 2009; 6: 764–768. DOI: [10.1016/j.hrthm.2009.02.029](https://doi.org/10.1016/j.hrthm.2009.02.029)

44. Beaver TM, Hedna VS, Khanna AY, et al. Thoracoscopic ablation with appendage ligation versus medical therapy for stroke prevention: a proof-of-concept randomized trial. *Innovations (Phila).* 2016; 11: 99–105. DOI: [10.1097/im.0000000000000226](https://doi.org/10.1097/im.0000000000000226)

45. Ohtsuka T, Ninomiya M, Nonaka T, et al. Thoracoscopic stand-alone left atrial appendectomy for thromboembolism prevention in nonvalvular atrial fibrillation. *J Am Coll Cardiol.* 2013; 62: 103–107. DOI: [10.1016/j.jacc.2013.01.017](https://doi.org/10.1016/j.jacc.2013.01.017)

46. Caliskan E, Sahin A, Yilmaz M, et al. Epicardial left atrial appendage AtriClip occlusion reduces the incidence of stroke in patients with atrial fibrillation undergoing cardiac surgery. *Europace.* 2018; 20: e105–e114. DOI: [10.1093/europace/eux211](https://doi.org/10.1093/europace/eux211)

47. Ailawadi G, Gerdisch MW, Harvey RL, et al. Exclusion of the left atrial appendage with a novel device: early results of a multicenter trial. *J Thorac Cardiovasc Surg.* 2011; 142: 1002–9. DOI: [10.1016/j.jtcvs.2011.07.052](https://doi.org/10.1016/j.jtcvs.2011.07.052)

48. Dawson AG, Asopa S, Dunning J. Should patients undergoing cardiac surgery with atrial fibrillation have left atrial appendage exclusion? *Interact Cardiovasc Thorac Surg.* 2010; 10: 306–11. DOI: [10.1510/icvts.2009.227991](https://doi.org/10.1510/icvts.2009.227991)

ИНФОРМАЦИЯ ОБ АВТОРАХ

Кадырова Мадина - [ORCID: 0000-0001-8231-6866] к.м.н., заведующая отделением ультразвуковой диагностики, заместитель директора ФГБУ «НМИЦ хирургии им. А.В. Вишневского» Минздрава России

115093, Российская Федерация, г. Москва, ул. Большая Серпуховская, 27

Стрекбкова Елизавета Дмитриевна - [ORCID: 0000-0001-5837-7255] к.м.н., научный сотрудник отделения рентгенохирургических методов диагностики и лечения аритмий № 1 ФГБУ «НМИЦ хирургии им. А.В. Вишневского» Минздрава России.

115093, Российская Федерация, г. Москва, ул. Большая Серпуховская, 27

Ялова Евгения Владиславовна - [ORCID 0000-0002-9409-5164] младший научный сотрудник

отделения ультразвуковой диагностики

ФГБУ «НМИЦ хирургии им. А.В. Вишневского» Минздрава России

115093, Российская Федерация, г. Москва, ул. Большая Серпуховская, 27

Ревишвили Амран Шотаевич - [ORCID: 0000-0003-1791-9163] академик РАН, д.м.н., профессор,

генеральный директор ФГБУ «НМИЦ хирургии им. А.В. Вишневского» Минздрава России¹

115093, Российская Федерация, г. Москва, ул. Большая Серпуховская, 27

Заведующий кафедрой ангиологии, сердечно-сосудистой хирургии,

эндоваскулярной хирургии и аритмологии им. академика А.В. Покровского ФГБОУ ДПО РМАНПО Минздрава России²

125993, Российская Федерация, г. Москва, ул. Баррикадная, 2/1, стр. 1

Вклад авторов. Все авторы внесли эквивалентный вклад в подготовку публикации.

Финансирование. Авторы заявляют об отсутствии источника финансирования.

Конфликт интересов. Авторы заявляют об отсутствии конфликта интересов.

AUTHOR INFORMATION FORM

Madina Kadyrova - [ORCID: 0000-0001-8231-6866] MD, PhD, head of the Ultrasound diagnostics department FSBI «National Medical Research Center named after A.V. Vishnevsky» of the Ministry of Health of the Russian Federation. 27, Bolshaya Serpukhovskaya Str., Moscow, Russian Federation, 117997

Elizaveta D. Strebkova - [ORCID: 0000-0001-5837-7255] MD, PhD, Researcher at the Department of Electrophysiological and Endovascular Image-guided Methods of Diagnosis and Treatment of Arrhythmias №1 FSBI «National Medical Research Center named after A.V. Vishnevsky» of the Ministry of Health of the Russian Federation. 27, Bolshaya Serpukhovskaya Str., Moscow, Russian Federation, 117997

Evgeniya V. Yalova - [ORCID 0000-0002-9409-5164] MD, Junior Researcher of the Ultrasound diagnostics department FSBI «National Medical Research Center named after A.V. Vishnevsky» of the Ministry of Health of the Russian Federation 27, Bolshaya Serpukhovskaya Str., Moscow, Russian Federation, 117997

Amiran Sh. Revishvili - [ORCID: 0000-0003-1791-9163], academician of the Russian Academy of Sciences, MD, PhD, General Director at

FSBI «National Medical Research Center named after A.V. Vishnevsky» of the Ministry of Health of the Russian Federation¹ 27, Bolshaya Serpukhovskaya Str., Moscow, Russian Federation, 117997

Head of the Department of Angiology, Cardiovascular, Endovascular Surgery and Arrhythmology n.a. ac. A.V. Pokrovsky, Russian Medical Academy of Continuing Professional Education, Moscow, Russian Federation² 2/1, bld.1, Barrikadnaya St., Moscow, Russian Federation, 125993

Contribution. All authors contributed equally to the preparation of the publication.

Funding. The authors declare no funding sources.

Conflict of Interest. The authors declare no conflict of interest.